

Українська асоціація з оброблення інформації та розпізнавання образів
Ukrainian Association for Information Processing and Pattern Recognition

Національна академія наук України та Міністерство освіти і науки України -
Міжнародний науково-навчальний центр інформаційних технологій та систем
National Academy of Sciences of Ukraine & Education and Science Ministry of Ukraine -
International Research and Training Center for Information Technologies and Systems

Національна академія наук України - Інститут кібернетики
National Academy of Sciences of Ukraine - Institute of Cybernetics

Академія інженерних наук України - Відділення інформатизації та автоматизації
Academy of Engineering Sciences - Department of Informatization and Automatization

Наукове товариство імені Тараса Шевченка - Секція інформатики
Taras Shevchenko Scientific Society - Section of Informatics

ОБРОБЛЕННЯ СИГНАЛІВ І ЗОБРАЖЕНЬ ТА РОЗПІЗНАВАННЯ ОБРАЗІВ

Signal/Image Processing and Pattern Recognition

ПРАЦІ * PROCEEDINGS

**ДЕСЯТА ВСЕУКРАЇНСЬКА МІЖНАРОДНА КОНФЕРЕНЦІЯ
25 — 29 жовтня 2010 року, Київ, Україна**

**THE TENTH ALL-UKRAINIAN INTERNATIONAL CONFERENCE
October 25 — 29, 2010 Kyiv, Ukraine**

УкрОБРАЗ'2010 * UkrOBRAZ'2010

Київ 2010

Відповідальний упорядник і редактор

Вінцюк Тарас — професор, доктор технічних наук, Голова Національного комітету Української асоціації з оброблення інформації та розпізнавання образів, академік Академії інженерних наук України, дійсний член НТШ

Видавнича колегія:

Васильєва Ніна — науковий співробітник

Гриценко Володимир — професор, член-кореспондент Академії технологічних наук України

Пилипенко Валерій — старший науковий співробітник

Сажок Микола — канд. техн. наук

Федорин Дмитро — молодший науковий співробітник

Шлезінгер Михайло — доктор фіз.-мат. наук, професор

Chief Editor

Vintsiuk Taras — Professor, Dr. of Eng. Sc., President of Ukrainian Association for Information Processing and Pattern Recognition, Academician of the Academy of Engineering Sciences of Ukraine, Active Member of Shevchenko Scientific Society

Editorial Board:

Vasyl'ieva Nina — researcher

Hrytsenko Volodymyr — Professor, Correspondent Member of the Academy of Technological Sciences of Ukraine

Pylypenko Valeriy — senior researcher

Sazhok Mykola — Cand. of Eng. Sc.

Fedoryn Dmytro — researcher

Schlesinger Michael — Dr. of Phys.-Math.Sc., Professor

ISBN 978-966-479-032-8

Статті публікуються без змін, зі збереженням авторського оригіналу

The papers are published without any change in the text that have been presented by authors

Веб-сторінка конференції:

The conference homepage: <http://www.uasoiro.org.ua/ukrobraz2010/>

Видання Міжнародного науково-навчального центру інформаційних технологій та систем:
40, проспект Академіка Глушкова, Київ 03680, Україна

Формат 60x84 1/8 . Ум. друк. арк. 23,25. Наклад 80 примірників. Зам. 354.

ВПВ УкрІНТЕІ, 03680, Київ, вул. Горького, 180.

Застосування методу ланцюгового кодування контуру для класифікації плямоподібних зображень

С. Кормановський, В. Кучерук, Р. Ліщук

Вінницький національний технічний університет
kormanovski@ukr.net

Abstract

The paper deals with the problems of efficient description of images with irregular contour while their recognition. New method of image contour coding has been suggested, its main advantages have been investigated.

1. Вступ

Важливою задачею розпізнавання зображень є їх якісний опис, тобто створення такої моделі зображення, яка б дозволила ефективно представити об'єкт розпізнавання та однозначно зіставити це представлення з набором еталонних класів зображень, оскільки якість опису зображення безпосередньо впливає як на алгоритм розпізнавання, так і на конкретну його апаратну реалізацію [1, 2].

Основним напрямком у створенні штучного інтелекту є розпізнавання різних динамічних об'єктів (ДО) шляхом аналізу їхніх зображень. Оскільки зображення несуть у собі великий обсяг інформації, то виникають такі важливі питання, як їхне представлення і класифікація. Велику частину інформації про зображення несуть його геометричні характеристики, у зв'язку з тим, що зображення представляє геометричну модель об'єкта [3]. У реальному світі існує багато динамічних об'єктів, що можуть бути представлені силуетними зображеннями, контур яких нагадує форму плями. Головна задача полягає в тому, щоб створити таку модель плямоподібного зображення, по якій можна буде легко ідентифіковати об'єкт і сортувати його.

2. Модифікований метод ланцюгового кодування контуру

Головна мета розпізнавання зображень полягає в одержанні їхнього опису і зіставлення цих описів з моделями класів зображень. Коли існують компактні описи моделей зображень, що описують класи зображень, то зображення, яке аналізується, буде відноситися до такого класу, для якого можна встановити відповідність між описами зображення і моделі.

Задачі розпізнавання ДО і визначення їхньої орієнтації можуть вирішуватися, якщо заздалегідь відомі описи цих об'єктів. Об'єкт, що розпізнається, може бути представлений декількома зображеннями, які зберігаються в базі даних. Форма об'єкта часто описується його контуром або сукупністю параметрів, яких досить для того, щоб розрізняти об'єкти визначеного класу. Суть контурного представлення полягає в тому, що форма кожного об'єкта описується множиною його граничних точок. У цьому методі пропонується новий підхід опису плямоподібних зображень. Отримане зображення

центрюється і виконується перехід з декартової системи координат у полярну. За допомогою головних внутрішніх точок зображення – центра ваги [4] і центра зв'язності [5] визначається вісь орієнтації зображення. Кодування йде в напрямку, зворотному ходу годинникової стрілки. Крива контуру представляється початковою точкою, розташованою на осі орієнтації, і цифровим кодом, складеним з восьми напрямків. Така комбінація елементарних напрямків розглядається як дискретний варіант природного рівняння кривої:

$$F = \{ v^0, v^1, v^2, v^3, v^4, v^{-1}, v^{-2}, v^{-3} \}.$$

Сітку кодування утворюють промені і концентричні кола. Задається крок відстані між сусідніми колами $\Delta\rho$ і крок кута $\Delta\phi$, від якого залежить дуга Δl , що з'єднує сусідні промені (рис. 1).

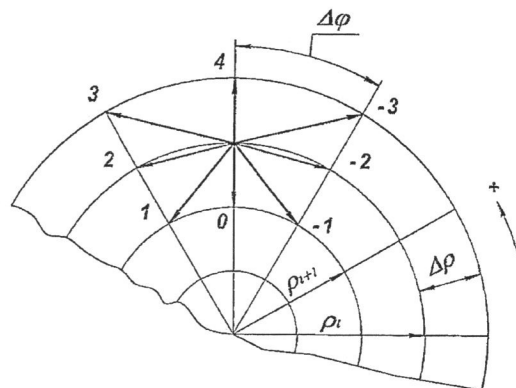


Рисунок 1: Напрямки векторів на полярній сітці

Основні визначення і поняття кодування:

- зображення з незакономірним контуром або плямоподібне зображення – зображення, форму якого описати точно аналітичним методом неможливо;
- геометричне середовище кодування – полярна система координат, яка накладається на відцентроване зображення з незакономірним контуром;
- сітка кодування – сітка полярної системи координат, утворена променями та концентричними колами;
- вузол сітки кодування – точка перетину променя та концентричного кола сітки кодування;

- промінь сітки – елемент полярної сітки кодування, півпрямі з початковою точкою у полюсі O ;
- елементарна комірка сітки кодування – елементарна одиниця геометричного середовища кодування;
- вісь орієнтації зображення – пряма, що проходить через головні внутрішні точки зображення: центр ваги зображення і центр зв'язності зображення;
- центр зв'язності зображення – головна внутрішня точка зображення, координати якої визначаються шляхом урівноваження сум зв'язності елементів зображення;
- параметри кодування – основні параметри процесу опису зображення з незакономірним контуром, якісне чи кількісне значення яких безпосередньо впливає на перебіг контурного кодування.

У табл. 1 наведено позначення елементарних напрямків контуру зображення, відповідний їм код та зміну кроків сітки кодування.

Таблиця 1: Позначення і параметри напрямків

Напрямок	Назва	Позначення	Зміна кроків сітки
0	спуск	v^0	(0; - $\Delta\rho$)
1	спуск	v^1	(+ $\Delta\varphi$; - $\Delta\rho$)
2	прямо	v^2	(+ $\Delta\varphi$; 0)
3	підйом	v^3	(+ $\Delta\varphi$; + $\Delta\rho$)
4	підйом	v^4	(0; + $\Delta\rho$)
-1	спуск	v^{-1}	(- $\Delta\varphi$; - $\Delta\rho$)
-2	прямо	v^{-2}	(- $\Delta\varphi$; 0)
-3	підйом	v^{-3}	(- $\Delta\varphi$; + $\Delta\rho$)

Кодування виконується елементарними векторами (рис. 1 та табл. 1). На процес кодування зображення з незакономірним контуром впливають такі параметри:

- оцифрування контуру зображення – присвоєння елементарній ділянці контуру зображення цифрового коду згідно з орієнтацією її елементарного напрямку на сітці кодування;
- напрям кодування – полярно додатний (проти годинникової стрілки);
- початкова точка кодування – точка перетину осі орієнтації зображення з контурною лінією зображення;
- елементарна ділянка контуру зображення – частина кривої незакономірного контуру, обмежена елементарною коміркою сітки кодування;
- точка невизначеності – точка, що поділяє відрізок елементарного променя чи елементарної дуги сітки кодування навпіл;
- елементарний напрямок контуру зображення – напрямок одного з векторів, початкова та кінцева точки якого є вузлами елементарної комірки сітки кодування.

Так, наприклад, в елементарній комірці $ABCD$ першим елементарним напрямком контуру зображення є напрямок вектора AC , оскільки його початкова точка найближча до точки контуру K_1 , кінцева точка найближча до другої точки контуру K_2 (рис. 2).

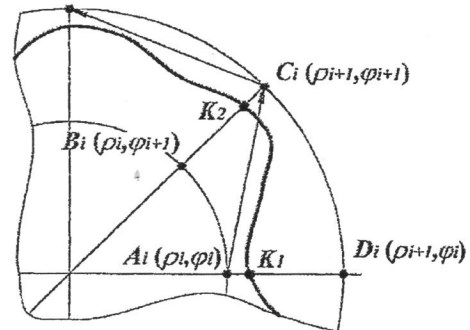


Рисунок 2: Фрагмент контуру зображення

Розглянемо основні принципи модифікованого способу контурного кодування зображення з незакономірним контуром. Нехай зображення із замкненим незакономірним контуром задане у полярній системі координат і для такого зображення попередньо проведено бінаризацію та видлення контуру [6], а також визначено основні інформаційні ознаки: головні внутрішні точки зображення та вісь орієнтації, напрям кодування та координати початкової точки кодування. Загальним результатом контурного кодування вважатимемо цифровий ланцюговий код, складений значеннями, що відповідають восьми елементарним напрямкам контуру зображення. Процес формування результуючого цифрового коду є ітераційним, тобто, рухаючись із заданим кроком дискретизації по елементарних комірках сітки кодування, для кожної елементарної ділянки контуру зображення визначається його елементарний напрямок. На рис. 3 показано приклад зображення, що має ланцюговий код:

0112243433431010110011233443...

...433211112334332222221211

Напрямки:

спуски: $\Sigma v^0 = 5$; $\Sigma v^1 = 15$;

підйоми: $\Sigma v^3 = 13$; $\Sigma v^4 = 7$;

прямо: $\Sigma v^2 = 12$

3. Класифікація форми контуру плямоподібних зображень

Запропоновані методи кодування і формування геометричних ознак дають простий опис об'єкта, але не пов'язані з його розпізнаванням в якості елемента деякого класу. Опис форми зображення з незакономірним контуром і кодування контуру в полярній сітці дозволяє створити апріорну класифікацію плямоподібних зображень [3]. Для зручності класифікації введено літеро-цифрові позначення класів і підкласів. Всі зображення розділені на три основні класи, в залежності від переваги того чи іншого напрямку, а також від відношення кількості кодових елементів до

дискретних секторів. На рис. 4 показано схему основних класів форми контуру плямоподібних зображень.

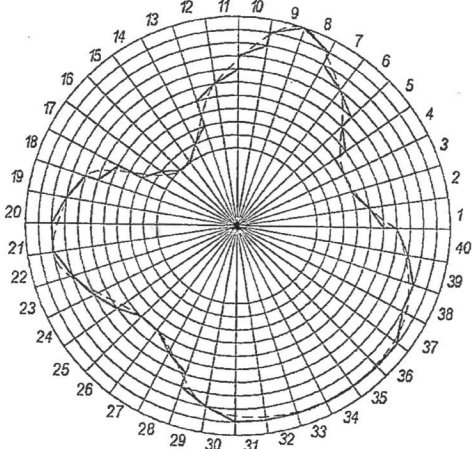


Рисунок 3: Графічна модель плямоподібного зображення з кодовим контуром

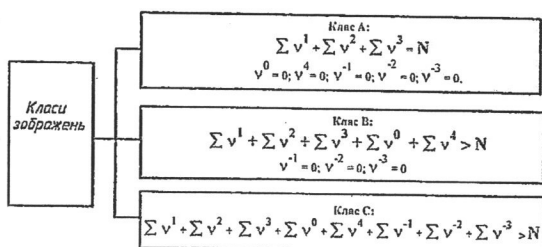


Рисунок 4: Основні класи форми контуру плямоподібних зображен

Кожен клас поділяється на підкласи (рис. 5-7). Розглянемо ці класи і підкласи.

Клас А: $\sum v^1 + \sum v^2 + \sum v^3 = N$;

де N – число секторів, $v^0 = 0$; $v^4 = 0$; $v^{-1} = 0$; $v^{-2} = 0$; $v^{-3} = 0$.

В класі А присутні три векторні напрямки v^1 , v^2 , v^3 . Загальна кількість цих напрямків завжди дорівнює числу секторів. Кількість інших п'яти напрямків дорівнює 0.

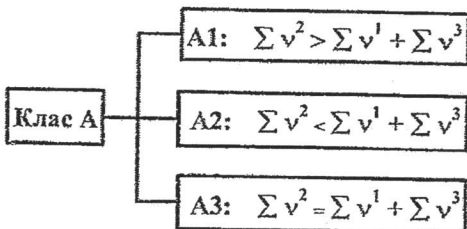


Рисунок 5: Схема підкласів класу А

A1: $\sum v^2 > \sum v^1 + \sum v^3$. В цьому підкласі сума напрямків v^2 більша за суму напрямків v^1 і v^3 . У таких зображеннях дефіцит опукlosti найменший серед усіх зображень класу А.

A2: $\sum v^2 < \sum v^1 + \sum v^3$. В цьому підкласі сума напрямків v^2 менша від суми напрямків v^1 і v^3 . У зображеннях підкласу

A2 дефіцит опукlosti найбільший серед усіх зображень класу А.

A3: $\sum v^2 = \sum v^1 + \sum v^3$. У зображеннях підкласу A3 сума напрямків v^2 дорівнює сумі напрямків v^1 і v^3 .

Клас В: $\sum v^1 + \sum v^2 + \sum v^3 + \sum v^0 + \sum v^4 > N$; $v^{-1} = 0$; $v^{-2} = 0$; $v^{-3} = 0$

В класі В присутні п'ять векторних напрямків v^1 , v^2 , v^3 , v^0 , v^4 . Загальна кількість цих напрямків більша від числа секторів N . Кількість інших трьох напрямків дорівнює 0. Довжина коду (загальна кількість напрямків) дорівнює кількості векторів і більша від числа секторів. Клас В містить 3 підкласи ВА, ВВ, ВС. Кожний підклас містить ще 4 підкласи.

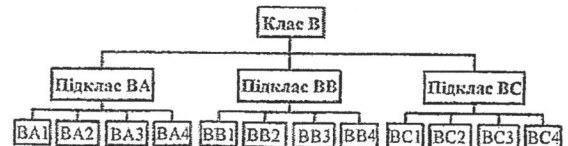


Рисунок 6: Схема підкласів класу В

Підклас ВА: $\sum v^2 > \sum v^1 + \sum v^3 + \sum v^0 + \sum v^4$. В цьому підкласі сума напрямків v^2 більша від суми всіх інших напрямків. Серед зображень класу В, дефіцит опукlosti у зображеннях підкласу ВА найменший.

ВА1: $\sum v^2 > \sum v^1 + \sum v^3 + \sum v^4$; $\sum v^0 = 0$.

ВА2: $\sum v^2 > \sum v^1 + \sum v^3$; $\sum v^0 = 0$.

ВА3: $\sum v^2 > \sum v^3 + \sum v^0 + \sum v^4$; $\sum v^1 = 0$.

ВА4: $\sum v^2 > \sum v^1 + \sum v^0 + \sum v^4$; $\sum v^3 = 0$.

Підклас ВВ: $\sum v^2 < \sum v^1 + \sum v^3 + \sum v^0 + \sum v^4$. В цьому підкласі сума напрямків v^2 менша від суми всіх інших напрямків. Серед зображень класу В, дефіцит опукlosti у зображеннях підкласу ВВ найбільший.

ВВ1: $\sum v^2 < \sum v^1 + \sum v^3 + \sum v^4$; $\sum v^0 = 0$.

ВВ2: $\sum v^2 < \sum v^1 + \sum v^3 + \sum v^0$; $\sum v^4 = 0$.

ВВ3: $\sum v^2 < \sum v^3 + \sum v^0 + \sum v^4$; $\sum v^1 = 0$.

ВВ4: $\sum v^2 < \sum v^1 + \sum v^0 + \sum v^4$; $\sum v^3 = 0$.

Підклас ВС: $\sum v^2 = \sum v^1 + \sum v^3 + \sum v^0 + \sum v^4$. В цьому підкласі сума напрямків v^2 дорівнює сумі всіх інших напрямків.

ВС1: $\sum v^2 = \sum v^1 + \sum v^3 + \sum v^4$; $\sum v^0 = 0$.

ВС2: $\sum v^2 = \sum v^1 + \sum v^3 + \sum v^0$; $\sum v^4 = 0$.

ВС3: $\sum v^2 = \sum v^3 + \sum v^0 + \sum v^4$; $\sum v^1 = 0$.

ВС4: $\sum v^2 = \sum v^1 + \sum v^0 + \sum v^4$; $\sum v^3 = 0$.

Клас С: $\sum v^1 + \sum v^2 + \sum v^3 + \sum v^0 + \sum v^4 + \sum v^{-1} + \sum v^{-2} + \sum v^{-3} > N$.

В класі С присутні всі вісім напрямків. Загальна кількість напрямків більша від числа секторів N . Клас С має три підкласи СА, СВ, СС.

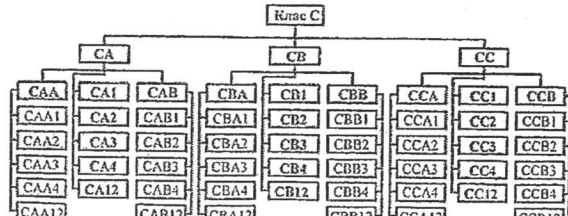


Рисунок 7: Схема підкласів класу С

Підклас СА: $\Sigma v^2 + \Sigma v^2 > \Sigma v^1 + \Sigma v^3 + \Sigma v^0 + \Sigma v^4 + \Sigma v^{-1} + \Sigma v^3$.

В цьому підкласі сума напрямків v^2 і v^{-2} більша від суми інших напрямків. Серед зображень класу С, дефіцит опуклості у зображені підкласу СА найменший.

СА1: $\Sigma v^2 + \Sigma v^2 > \Sigma v^1 + \Sigma v^3 + \Sigma v^4 + \Sigma v^{-1} + \Sigma v^3; \Sigma v^0=0$.

СА2: $\Sigma v^2 + \Sigma v^2 > \Sigma v^1 + \Sigma v^3 + \Sigma v^0 + \Sigma v^{-1} + \Sigma v^3; \Sigma v^4=0$.

СА3: $\Sigma v^2 + \Sigma v^2 > \Sigma v^3 + \Sigma v^0 + \Sigma v^4 + \Sigma v^{-1} + \Sigma v^3; \Sigma v^{-1}=0$.

СА4: $\Sigma v^2 + \Sigma v^2 > \Sigma v^1 + \Sigma v^3 + \Sigma v^0 + \Sigma v^4 + \Sigma v^{-1}; \Sigma v^3=0$.

СА12: $\Sigma v^2 + \Sigma v^2 > \Sigma v^1 + \Sigma v^3 + \Sigma v^{-1} + \Sigma v^3; \Sigma v^0=0; \Sigma v^4=0$.

САА: $\Sigma v^2 > \Sigma v^1 + \Sigma v^3 + \Sigma v^0 + \Sigma v^4 + \Sigma v^{-1} + \Sigma v^3; \Sigma v^{-2}=0$.

САА1: $\Sigma v^2 > \Sigma v^1 + \Sigma v^3 + \Sigma v^4 + \Sigma v^{-1} + \Sigma v^3; \Sigma v^0=0$.

САА2: $\Sigma v^2 > \Sigma v^1 + \Sigma v^3 + \Sigma v^0 + \Sigma v^{-1} + \Sigma v^3; \Sigma v^4=0$.

САА3: $\Sigma v^2 > \Sigma v^1 + \Sigma v^3 + \Sigma v^0 + \Sigma v^4 + \Sigma v^{-1} + \Sigma v^3; \Sigma v^{-1}=0$.

САА4: $\Sigma v^2 > \Sigma v^1 + \Sigma v^3 + \Sigma v^0 + \Sigma v^4 + \Sigma v^{-1}; \Sigma v^3=0$.

САА12: $\Sigma v^2 > \Sigma v^1 + \Sigma v^3 + \Sigma v^{-1} + \Sigma v^3; \Sigma v^0=0, \Sigma v^4=0$.

САВ: $\Sigma v^2 > \Sigma v^1 + \Sigma v^3 + \Sigma v^0 + \Sigma v^4 + \Sigma v^{-1} + \Sigma v^3; \Sigma v^2=0$.

САВ1: $\Sigma v^2 > \Sigma v^1 + \Sigma v^3 + \Sigma v^4 + \Sigma v^{-1} + \Sigma v^3; \Sigma v^0=0$.

САВ2: $\Sigma v^2 > \Sigma v^1 + \Sigma v^3 + \Sigma v^0 + \Sigma v^{-1} + \Sigma v^3; \Sigma v^4=0$.

САВ3: $\Sigma v^2 > \Sigma v^1 + \Sigma v^3 + \Sigma v^0 + \Sigma v^4 + \Sigma v^3; \Sigma v^{-1}=0$.

САВ4: $\Sigma v^2 > \Sigma v^1 + \Sigma v^3 + \Sigma v^0 + \Sigma v^4 + \Sigma v^{-1}; \Sigma v^3=0$.

САВ12: $\Sigma v^2 > \Sigma v^1 + \Sigma v^3 + \Sigma v^{-1} + \Sigma v^3; \Sigma v^0=0; \Sigma v^4=0$.

Підклас СВ: $\Sigma v^2 + \Sigma v^2 < \Sigma v^1 + \Sigma v^3 + \Sigma v^0 + \Sigma v^4 + \Sigma v^{-1} + \Sigma v^3$.

В цьому підкласі сума напрямків v^2 і v^{-2} менша суми інших напрямків. Серед зображень класу С, дефіцит опуклості у зображені підкласу СА найбільший.

СВ1: $\Sigma v^2 + \Sigma v^2 < \Sigma v^1 + \Sigma v^3 + \Sigma v^4 + \Sigma v^{-1} + \Sigma v^3; \Sigma v^0=0$.

СВ2: $\Sigma v^2 + \Sigma v^2 < \Sigma v^1 + \Sigma v^3 + \Sigma v^0 + \Sigma v^{-1} + \Sigma v^3; \Sigma v^4=0$.

СВ3: $\Sigma v^2 + \Sigma v^2 < \Sigma v^1 + \Sigma v^3 + \Sigma v^0 + \Sigma v^4 + \Sigma v^3; \Sigma v^{-1}=0$.

СВ4: $\Sigma v^2 + \Sigma v^2 < \Sigma v^1 + \Sigma v^3 + \Sigma v^0 + \Sigma v^4 + \Sigma v^{-1}; \Sigma v^3=0$.

СВ12: $\Sigma v^2 + \Sigma v^2 < \Sigma v^1 + \Sigma v^3 + \Sigma v^{-1} + \Sigma v^3; \Sigma v^0=0, \Sigma v^4=0$.

СВА: $\Sigma v^2 < \Sigma v^1 + \Sigma v^3 + \Sigma v^0 + \Sigma v^4 + \Sigma v^{-1} + \Sigma v^3; \Sigma v^2=0$.

СВА1: $\Sigma v^2 < \Sigma v^1 + \Sigma v^3 + \Sigma v^4 + \Sigma v^{-1} + \Sigma v^3; \Sigma v^0=0$.

СВА2: $\Sigma v^2 < \Sigma v^1 + \Sigma v^3 + \Sigma v^0 + \Sigma v^{-1} + \Sigma v^3; \Sigma v^4=0$.

СВА3: $\Sigma v^2 < \Sigma v^1 + \Sigma v^3 + \Sigma v^0 + \Sigma v^4 + \Sigma v^3; \Sigma v^{-1}=0$.

СВА4: $\Sigma v^2 < \Sigma v^1 + \Sigma v^3 + \Sigma v^0 + \Sigma v^4 + \Sigma v^{-1}; \Sigma v^3=0$.

СВА12: $\Sigma v^2 < \Sigma v^1 + \Sigma v^3 + \Sigma v^{-1} + \Sigma v^3; \Sigma v^0=0; \Sigma v^4=0$.

СВВ: $\Sigma v^2 < \Sigma v^1 + \Sigma v^3 + \Sigma v^0 + \Sigma v^4 + \Sigma v^{-1} + \Sigma v^3; \Sigma v^2=0$.

СВВ1: $\Sigma v^2 < \Sigma v^1 + \Sigma v^3 + \Sigma v^4 + \Sigma v^{-1} + \Sigma v^3; \Sigma v^0=0$.

СВВ2: $\Sigma v^2 < \Sigma v^1 + \Sigma v^3 + \Sigma v^0 + \Sigma v^{-1} + \Sigma v^3; \Sigma v^4=0$.

СВВ3: $\Sigma v^2 < \Sigma v^1 + \Sigma v^3 + \Sigma v^0 + \Sigma v^4 + \Sigma v^3; \Sigma v^{-1}=0$.

СВВ4: $\Sigma v^2 < \Sigma v^1 + \Sigma v^3 + \Sigma v^0 + \Sigma v^4 + \Sigma v^{-1}; \Sigma v^3=0$.

СВВ12: $\Sigma v^2 < \Sigma v^1 + \Sigma v^3 + \Sigma v^{-1} + \Sigma v^3; \Sigma v^0=0; \Sigma v^4=0$.

Підклас СС: $\Sigma v^2 + \Sigma v^2 = \Sigma v^1 + \Sigma v^3 + \Sigma v^0 + \Sigma v^4 + \Sigma v^{-1} + \Sigma v^3$.

В цьому підкласі сума напрямків v^2 і v^{-2} дорівнює сумі інших напрямків.

СС1: $\Sigma v^2 + \Sigma v^2 = \Sigma v^1 + \Sigma v^3 + \Sigma v^4 + \Sigma v^{-1} + \Sigma v^3; \Sigma v^0=0$.

СС2: $\Sigma v^2 + \Sigma v^2 = \Sigma v^1 + \Sigma v^3 + \Sigma v^0 + \Sigma v^{-1} + \Sigma v^3; \Sigma v^4=0$.

СС3: $\Sigma v^2 + \Sigma v^2 = \Sigma v^1 + \Sigma v^3 + \Sigma v^0 + \Sigma v^4 + \Sigma v^3; \Sigma v^{-1}=0$.

СС4: $\Sigma v^2 + \Sigma v^2 = \Sigma v^1 + \Sigma v^3 + \Sigma v^0 + \Sigma v^4 + \Sigma v^{-1}; \Sigma v^3=0$.

СС12: $\Sigma v^2 + \Sigma v^2 = \Sigma v^1 + \Sigma v^3 + \Sigma v^{-1} + \Sigma v^3; \Sigma v^0=0, \Sigma v^4=0$.

ССА: $\Sigma v^2 = \Sigma v^1 + \Sigma v^3 + \Sigma v^0 + \Sigma v^4 + \Sigma v^{-1} + \Sigma v^3; \Sigma v^2=0$.

ССА1: $\Sigma v^2 = \Sigma v^1 + \Sigma v^3 + \Sigma v^4 + \Sigma v^{-1} + \Sigma v^3; \Sigma v^0=0$.

ССА2: $\Sigma v^2 = \Sigma v^1 + \Sigma v^3 + \Sigma v^0 + \Sigma v^{-1} + \Sigma v^3; \Sigma v^4=0$.

ССА3: $\Sigma v^2 = \Sigma v^1 + \Sigma v^3 + \Sigma v^0 + \Sigma v^4 + \Sigma v^3; \Sigma v^{-1}=0$.

ССА4: $\Sigma v^2 = \Sigma v^1 + \Sigma v^3 + \Sigma v^0 + \Sigma v^4 + \Sigma v^{-1}; \Sigma v^3=0$.

ССА12: $\Sigma v^2 = \Sigma v^1 + \Sigma v^3 + \Sigma v^{-1} + \Sigma v^3; \Sigma v^0=0; \Sigma v^4=0$.

ССВ: $\Sigma v^2 = \Sigma v^1 + \Sigma v^3 + \Sigma v^0 + \Sigma v^4 + \Sigma v^{-1} + \Sigma v^3; \Sigma v^2=0$.

ССВ1: $\Sigma v^2 = \Sigma v^1 + \Sigma v^3 + \Sigma v^4 + \Sigma v^{-1} + \Sigma v^3; \Sigma v^0=0$.

ССВ2: $\Sigma v^2 = \Sigma v^1 + \Sigma v^3 + \Sigma v^0 + \Sigma v^{-1} + \Sigma v^3; \Sigma v^4=0$.

ССВ3: $\Sigma v^2 = \Sigma v^1 + \Sigma v^3 + \Sigma v^0 + \Sigma v^4 + \Sigma v^3; \Sigma v^{-1}=0$.

ССВ4: $\Sigma v^2 = \Sigma v^1 + \Sigma v^3 + \Sigma v^0 + \Sigma v^4 + \Sigma v^{-1}; \Sigma v^3=0$.

ССВ12: $\Sigma v^2 = \Sigma v^1 + \Sigma v^3 + \Sigma v^{-1} + \Sigma v^3; \Sigma v^0=0; \Sigma v^4=0$.

Ідентифікація динамічних плямоподібних зображень виконується на базі априорної класифікації з використанням інформативних ознак: центрів зв'язності та ваги, осі орієнтації, площин, міри дефіциту опуклості [7].

4. Висновки

Запропоновано новий підхід до кодування зображень з незакономірним контуром, що базується на поданні та описуванні зображення не в традиційній декартовій, а в полярній системі координат. Цей підхід відрізняється від відомих методів описування зображення тим, що:

1. об'єкт розпізнавання подано через геометрію контуру - найхарактернішу його ознакою;
2. отриманий код є адекватним і компактним, тобто простим, наочним та інваріантним до афінних перетворень зображення (поворот, зсув, масштабування, ущільнення);
3. опис зображення є зручним для апаратної реалізації, оскільки результатуючий код складається лише трьох бітів.

Отже, на основі даного опису може бути побудована класифікація зображень, яка в подальшому може використовуватися для створення бази даних зображень з незакономірним контуром.

5. Література

- [1] Прэтт У. Цифровая обработка изображений. В 2-х кн. – М.: Мир. – 1982. – Кн. 1. – 310с. – Кн. 2. – 790с.
- [2] Форсайт Д.А., Понс Ж. Компьютерное зрение. Современный подход.: Пер. с англ. – М. – Издат. Дом «Вильямс». – 2004. – 928с.
- [3] Кормановский С.И., Мельник О.П., Дорохин М.В. Геометрическое моделирование пятенных изображений динамических объектов // Геометрическое моделирование и комп'ютерные моделирования. Зборник наукових праць. Вип. 7. – Харків. – 2004. – С. 82-87.
- [4] Кормановский С.И. Математична модель і алгоритм визначення координат центра ваги і моментів інерції зображення // Вісник ВП. – 1999. – № 1. – С. 61-64.
- [5] Кормановський С.І., Швейкі Нафез, Тимченко Л.І. Підхід до визначення центра зв'язності зображення // Вісник ВП. – 2001. – № 4. – С. 71-73.
- [6] Введение в контурный анализ и его приложения в обработке изображений и сигналов. Под ред. Я.А. Фурмана. – М. – ФИЗМАТЛІТ. – 2002. – 592с.
- [7] Кормановський С.І., Кохем'яко В.П. Око-процесорна обробка та розпізнавання образної інформації за геометричними ознаками. – Вінниця: «УНІВЕРСУМ – Вінниця», 2007. – 160 с.